

УДК 004.056.55

*Красиленко В.Г., канд. техн. наук., старш. наук. співроб., доцент,  
Нікітович Д.В.*

*<sup>1</sup> Вінницький національний технічний університет*

## **МОДЕЛЮВАННЯ МЕТОДІВ ГЕНЕРУВАННЯ ПОТОКІВ МАТРИЧНИХ ПЕРЕСТАНОВОК ЗНАЧНОЇ РОЗМІРНОСТІ ДЛЯ КРИПТОГРАФІЧНИХ ПЕРЕТВОРЕНЬ ЗОБРАЖЕНЬ**

**Вступ.** Поява нового класу криптосистем матричного типу (КМТ) [1-4], що базуються на основі матрично-алгебраїчних моделей (ММ) криптографічних перетворень (КП) 2D(3D) - масивів, зображень (З) та є узагальненням відомих криптосистем зі скалярними форматами даних на випадки матрично-тензорних форматів і які мають ряд суттєвих переваг, сприяла інтенсифікації досліджень КМТ, ММ та демонстрації цілої низки нових їх покращень та застосувань [5-10]. Узагальнені ММ, матричні афінні та афінно-перестановочні шифри, їх модифікації досліджувались та використовувались при створенні цифрових сліпих та інших покращених підписів у [11-15]. ММ при їх апаратних реалізаціях легше відображаються на матричні процесори, мають покращені крипто-стійкість та інші характеристики, дозволяють перевіряти цілісність криптограм чорно-білих, кольорових зображень і наявність у них перекручувань [5,7], мають розширені функціональні можливості за рахунок створення блокових [6], багатофункціональних параметричних [8] і багатосторінкових [9] моделей з їх значною стійкістю [10]. Матричні моделі перестановок (ММ\_П) з процедурами множення матриць та деякими іншими по-елементними операціями за модулем над матрицями є одними з базових операцій, оскільки для реалізації КП необхідно матриці байтів зліва та справа помножити на матриці перестановок (МП), матрицю з рядків, колонок, векторів, що в унітарних кодах відображають символи, коди, байти, теж замінювати, переставляти за допомогою перестановок. Процедури переставляння бітів, байтів чи їх груп є найбільш поширеними та обов'язковими практично для всіх відомих та новостворюваних алгоритмів та шифрів. Для збільшення ентропії криптограм З при їх КП на основі ММ\_П та зміни їх гістограм необхідні декомпозиція R,G,B складових і їх бітових зрізів та декілька матричних ключів (МК) типу МП [3-5]. Низка таких псевдовипадкових (поточних, крокових, по-фреймових) МК, які б відповідали вимогам, швидко генерувались, потрібна і для маскуванню, КП відео-файлів чи потоку блоків з файлів, зображень при їх значних розмірах. **Постановка задачі.** Таким чином, для ММ є необхідність формування низки МП, які б задоволь-

няли ряду вимог, з головного МК. Оскільки питання узгодження головного МК загального виду, але не послідовності МП розглядалися в [16,17], а методи генерування потоку МК перестановок частково розглядалися в [18], але тільки для бітових МП невеликих розмірів ( $256*256$ ), то **метою роботи** є спроба вдосконалити метод генерації низки МП, покращити та адаптувати вид, структуру, опис МП до формату 3 і до швидких апаратних рішень, суттєво розширити межі розмірності МП, промодельовати та дослідити процес формування потоку МП для МАМ КП у системах МТ, перевірити властивості генерованих МП.

**Виклад основного матеріалу та результатів дослідження.** Огляд МТ шифрів, особливо багатофункціональних параметричних блочних [4], їх аналіз показують, що доцільно використовувати для досягнення мети ізоморфність різних представлень перестановок (матриць чи векторів), що виступають у ролі головного ключа (ГК) та по-блокових МК типу МП, тобто під-ключів (ПК), що являють собою матриці перестановок  $P$  (її степені !) чи ізоморфні їм вектори. З робіт [6,8,9] відомо, що для поблочних КП на основі МАПШ, ВАПШ криптограми деяких видів зображень та текстово-графічних документів (ТГД) при використанні одного ПК для всіх блоків є недостатніми по стійкості, та попри це низка ПК, що створюються з ГК, вирішує цю проблему. Розглянемо ситуацію, коли для КП блоків довжиною  $256*256$  байтів, що представлені у вигляді матриці чорно-білого зображення необхідно переставити всі байти у відповідності до МП. В цьому випадку МП в загально прийнятому вигляді повинна бути квадратною з  $N*N$  елементами («0» чи «1»), де  $N=2^{16}$ .

Потужність множини можливих таких МП, тобто їх кількість оцінюється, як  $N!$ , що дає для цього  $N$  колосальні значення. Але кожному адресу байту блоку можна представити і за допомогою двох байтів, що вказують дві координати (рядок та стовпчик) блоку. Це дає нам можливість двома блоками ( $256*256$  елементів) байтів представляти любую перестановку, ставлячи в кожній однаковій адресі цих блоків відповідну старшому байту (в першому блоці) та молодшому байту (в другому блоці) координати нової адреси вибраного для перестановки байту. Вигляд програмного модуля у Mathcad для генерування базового (головного) МК (МП) та вигляд його складових KeyA та KeyB у форматі двох чорно-білих зображень показано на рис.1. Отже, любую МП можна однозначно відобразити двома матрицями розміром  $256*256$ , елементи яких приймають значення з діапазону 0-255, з тією особливістю, що кожна з 256 їх градацій інтенсивності в кожній з цих двох матриць (3) повторюється рівно по 256 раз. Узагальнюючи, можна стверджувати, що для ще більших за розміром МП останні можна також однозначно представити

за допомогою 3, 4 і т.д. блоків з байтів, аналогічних вищевказаним складовим KeyA та KeyB. Гістограми складових KeyA та KeyB МП зображені на рис.2 та, як і очікувалось, мають вигляд горизонтальних ліній. Там же показані і гістограми явного З та його криптограм після КП, наприклад, МАПШ при використанні такої МП.

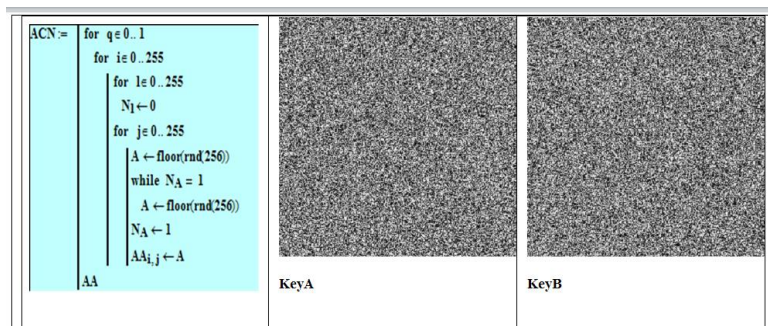


Рис. 1. Програмний модуль для генерування базового (головного) МК (МП) та вигляд складових KeyA та KeyB у форматі двох чорно-білих зображень (Вікно Mathcad).

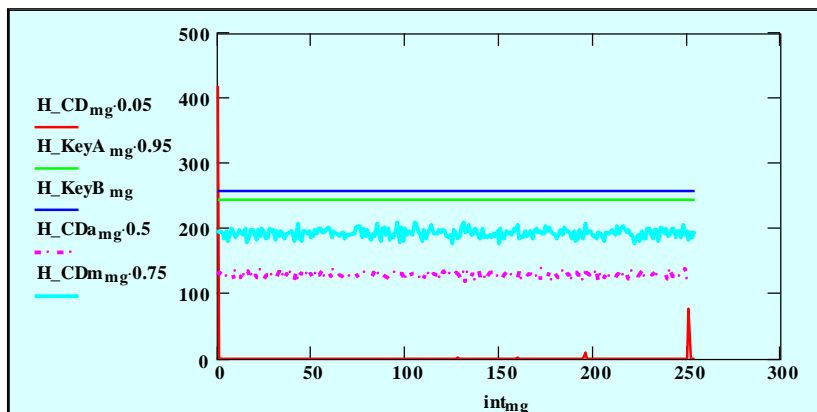


Рис. 2. Гістограми  $H_{KeyA}$  та  $H_{KeyB}$  відповідно складових KeyA та KeyB МП, гістограма  $H_{CD}$  криптограми явного З (співпадає з гістограмою З), відповідні гістограми  $H_{CDa}$  та  $H_{CDm}$  криптограм після адитивної та мультиплікативної афінних КП З за допомогою тих же KeyA та KeyB (Вікно Mathcad).

Результати моделювання КП зображення (Im) МАПШ за допомогою запропонованої МП та її складових, як ключів, з формулами, що відповідають перестановці та афінним КП, та матрицями явного З (Im), проміжних, його криптограми (Стар) та перевірними показані на рис.3, 4. Експериментами встановлено, що після додаткових афінних КП при використанні наявних 2-х складових МП ми отримуємо криптограми CD\_ImAa та CD\_ImAm, гістограми яких H\_CDa та H\_CDm настільки близькі до рівномірного закону розподілу, що навіть для Im з ентропією 0,738 ентропія криптограм збільшується аж до 7,99 та більше і відрізняється від теоретично максимальної (8 біт) всього на доли відсотка. Результати моделювання КП З (Im) МАПШ для випадку, коли спочатку виконуються складові афінних перетворень і у іншій послідовності та різними чи одним МК від МП, а потім перестановка за допомогою МП, дивись рис.4, також свідчать про достовірну якісну роботу шифру при застосуванні запропонованих представлень МП та багатокрокових МАПШ. З метою збільшення стійкості МАПШ при обробці файлів блоками для кожного поточного блоку бажано мати низку неповторюваних МК, генерованих з головного МК, наприклад, з такої ж МП, тому є актуальною задача дослідження процесів швидкого надійного генерування послідовності таких МП, з урахуванням вимог до їх крипто-статистичних характеристик.

$$\begin{aligned}
 CD\_ImA_{i,j} &:= Im_{KeyA_{KeyA_{i,j}, KeyB_{i,j}}, KeyB_{KeyA_{i,j}, KeyB_{i,j}}} \\
 &\quad \xrightarrow{DDo\_ImA_{KeyA_{KeyA_{i,j}, KeyB_{i,j}}, KeyB_{KeyA_{i,j}, KeyB_{i,j}}}} := CD\_ImA_{i,j} \\
 CD\_ImAav &:= ((CD\_ImA + KeyA \cdot 1)) \\
 CD\_ImAa &:= (\overrightarrow{\text{mod}(CD\_ImAav, 256)}) - R1 \cdot 0 \\
 \min(CD\_ImAav) &= 0 \quad \max(CD\_ImAav) = 510 \quad DD\_ImAav := (\overrightarrow{(CD\_ImAa + 256 \cdot R1 - KeyA \cdot 1)}) \\
 \min(CD\_ImAa) &= 0 \quad \max(CD\_ImAa) = 255 \quad DD\_ImAa := (\overrightarrow{\text{mod}(DD\_ImAav, 256)}) - R1 \cdot 0 \\
 CD\_ImAm_{i,j} &:= \text{mod}[(CD\_ImAa_{i,j} + 1) \cdot KeyBm_{i,j}, 257] - 1 \quad \begin{array}{l} \min(DD\_ImAav) = 128 \quad \max(DD\_ImAav) = 511 \\ \min(DD\_ImAa) = 0 \quad \max(DD\_ImAa) = 255 \end{array} \\
 DD\_ImAm_{i,j} &:= \text{mod}[(CD\_ImAm_{i,j} + 1) \cdot KeyBmO_{i,j}, 257] - 1 \quad ER\_Aa := (\overrightarrow{|CD\_ImA - DD\_ImAa|}) \cdot 255 \\
 &\quad \max(ER\_Aa) = 0
 \end{aligned}$$

Рис. 3. Фрагмент вікна Mathcad з формулами для моделювання МАПШ на основі складових МП, як адитивного та мультиплікативного МК.

Першим методом, по аналогії з [18], є використання деяких, узгоджених сторонами скалярів  $h$  та  $hm$  (одного чи двох), як ключів для КП

(зашифрування) ними складових  $KeyA$  та  $KeyB$  головної МП (ГМП) за допомогою афінного шифру з операціями за модулем 257. Пара, утворених з них криптограм будуть складовими нової МП, яка буде повністю зберігати всі необхідні властивості ГМП, мати аналогічні гістограми та відповідати вимогам.

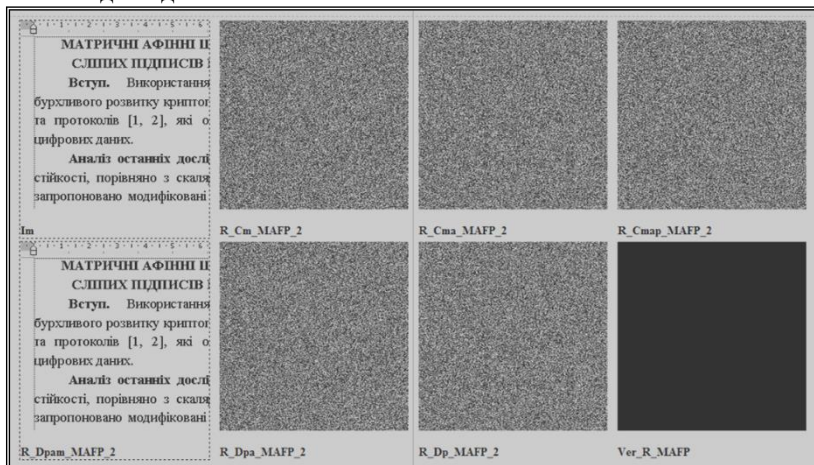


Рис. 4. Результати моделювання МАФШ на основі МП та її складових, як адитивного та мультиплікативного МК. Верхній ряд, зліва направо: явне, після перетворень, криптограма після МАФШ; Нижній ряд: відновлене, проміжні та різницеve (праворуч) зображення ТГД.

Оцінки показують, що число різних таких пар скалярів при відкиданні значень «0» та «1» для  $x$  та  $xm$  може бути  $254 \times 254$ , а кількість можливих переставлять цих пар у їх послідовній множині оцінюється значною величиною  $(254 \times 254)!$ , що дозволяє створювати низки МК (МП) значної довжини. Для практичних застосувань навіть одного мультиплікативного афінного (лінійного) КП достатньо, щоб з множини 254-ти значень  $xm$  створювати, крім того, й без повторів, значну кількість, а саме  $254!$ , узгоджених сторонами випадкових векторів довжиною 254 для формування ними послідовності таких МП у вигляді двох зображень.

На рис. 5 показані результати моделювання процесів генерування МК  $KeyM$ , як першої складової нової МП, з  $KeyA$  складової МП у Mathcad з формулами та матрицями  $KeyM$  для  $xm = km=17$ . Генерування другої складової виконується з тим же  $km=17$ , але від  $KeyB$ . Пари криптограм, утворених за допомогою афінного шифру зі складових  $KeyA$  та  $KeyB$  ГМП і є  $i$ -ими поточними матричними перестановками, що відображаються у вигляді двох матриць розмірністю  $(256 \times 256)$ .

Оскільки, ГМП та 2 (чи 1) узгоджені допоміжні векторні ключі (ВК) є секретними і відомі лише сторонам процесу КП, то цю послідовність МК (МП) створювати чи мати можуть лише вони, а за рахунок специфічності гістограм складових МП та їх ентропій (рівних 8 біт!) криптоаналіз унеможливується. Секретними, узгодженими можуть бути лише ГМП або ВК.

		$\text{KeyM}(km, \text{KeyA}) := \begin{array}{l} \text{for } i \in 0..255 \\ \quad \text{for } j \in 0..255 \\ \quad \quad W_{i,j} \leftarrow \text{mod}[(\text{KeyA}_{i,j} + 1) \cdot km, 257] - 1 \\ \quad W \end{array}$									
KeyA <sub>km</sub> =		0	1	2	3	4	5	6	7	8	9
	0	201	128	218	79	195	71	175	159	86	115
	1	6	170	118	190	169	16	246	216	48	46
	2	26	205	35	29	173	141	90	34	240	183
	3	10	69	46	150	45	28	48	172	191	43
	4	73	65	139	94	230	105	84	59	87	162
	5	124	19	204	43	5	220	142	78	57	45
	6	21	96	223	232	31	233	158	91	41	40
	7	223	22	66	90	129	151	118	181	4	126
	8	206	232	1	175	98	199	19	200	228	238
	9	141	194	244	154	146	155	82	44	90	76
	10	224	216	152	80	169	213	99	88	39	107
	11	179	121	68	238	123	45	141	33	141	218
	12	194	86	82	163	198	8	36	38	136	46
	13	56	176	185	31	85	95	84	182	173	87
	14	202	207	35	119	6	218	43	172	30	111
15	104	81	62	0	56	196	27	5	171	15	
KeyM(17, KeyA) =		0	1	2	3	4	5	6	7	8	9
	0	201	128	218	79	195	71	175	159	86	115
	1	6	170	118	190	169	16	246	216	48	46
	2	26	205	35	29	173	141	90	34	240	183
	3	10	69	46	150	45	28	48	172	191	43
	4	73	65	139	94	230	105	84	59	87	162
	5	124	19	204	43	5	220	142	78	57	45
	6	21	96	223	232	31	233	158	91	41	40
	7	223	22	66	90	129	151	118	181	4	126
	8	206	232	1	175	98	199	19	200	228	238
	9	141	194	244	154	146	155	82	44	90	76
	10	224	216	152	80	169	213	99	88	39	107
	11	179	121	68	238	123	45	141	33	141	218
	12	194	86	82	163	198	8	36	38	136	46
13	56	176	185	31	85	95	84	182	173	87	

Рис. 5. Формули та вигляд (2D) генерованого МК з ГМП простим лінійним КП та функціональним параметричним.

Другим методом генерування поточних МП є застосування однакових циклічних зсувів складових ГМП по х та у координатах на відповідні вибрані (узгоджені сторонами) значення (1-254). Моделювання цього методу тут, з урахуванням обмежень, не наводяться, але отримані результати також підтверджують забезпечення тих же можливостей, якостей та вищенаведених оцінок, що і для першого методу. Оскільки ці зсуви є одним з часткових видів загальних можливих перестановок, але елементів самих складових ГМП, то відкривається можливість, здійснюючи самою ГМП одноразову (багаторазову) перестановку байтів її складових відображень, отримувати нові МП, що будуть повністю відповідати вимогам. А тому, **третій метод** генерування полягає у піднесенні ГМП у степінь, що відповідає і-тій компоненті векторного ключа. Проте суть таких піднесень еквівалентно замінюється швидкими перестановками, які до того ж можуть бути ще більш прискореними при значних степенях за рахунок використання деякого базового набору фіксованих (фіксовані степені ГМП) та специфічної їх послідовності. Результати формування цим методом потоку МП при його моделюванні у Mathcad показані на рис.6 та підтверджують його адекватність, коректність, відповідність вимогам, досягнення суттєвих переваг за рахунок прискорень обчислення степенів ГМП, простоти можливих реалізацій і зменшення затрат.

P_s16A := T_PPF(15, KeyA)    P_s16B := T_PPF(15, KeyB)										P_SwVA := T_PFW(4, P_s16A, P_s8A, P_s8B)										P_Sw84B := T_P																																																																																									
P_sAV := T_PF(75, KeyA)    P_sBV := T_PF(34, KeyB)										P_SwVB := T_PFW(1, P_s4B, P_s16A, P_s16B)																																																																																																			
0										0										0																																																																																									
1										1										1																																																																																									
2										2										2																																																																																									
3										3										3																																																																																									
4										4										4																																																																																									
5										5										5																																																																																									
6										6										6																																																																																									
7										7										7																																																																																									
8										8										8																																																																																									
9										9										9																																																																																									
0										170										88										242										27										94										166										117										16										11										185									
1										250										225										13										106										20										140										2										86										154										137									
2										29										87										171										78										55										9										92										104										115										106									
3										212										203										173										73										26										111										255										37										96										236									
4										88										178										205										155										190										58										138										32										204										194									
5										230										134										215										101										149										88										220										48										4										223									
6										113										27										166										121										25										255										31										169										221										199									
7										111										96										249										42										171										187										24										212										101										64									
8										210										202										91										25										187										26										203										63										197										227									
9										8										61										213										143										171										250										89										85										17										29									
10										109										103										219										127										66										35										237										225										158										114									
11										4										208										105										200										205										123										245										227										43										112									
12										74										13										136										83										73										241										62										160										17										156									
13										132										54										201										99										126										185										121										69										157										184									
14										113										10										134										112										203										64										151										18										53										239									
15										178										88										50										129										176										119										134										213										87										216									

Рис. 6. Формули та частина цифрових масивів генерованого МК з ГМПІ шляхом ітераційних чи послідовних фіксованих перестановок.

Використовуючи розроблені функціональні параметричні моделі КП за допомогою генерованих МП, що показані на рис.7, було виконано перевірку правильного до вимог їх синтезу та адекватності моделей шляхом прямого та зворотного КП з лише за допомогою цих МП. Отримані моделюванням у Mathcad результати, а саме: криптограми, відновлені, явні та різниці  $\beta$ , дивись рис.8, та дають такі висновки.

$\begin{aligned} \text{Ckm} &:= \text{T\_PFW}(5, \text{PIC\_colR}, \text{KeyAkm}, \text{KeyBkm}) \\ \text{DCkm} &:= \text{T\_PFWO}(5, \text{Ckm}, \text{KeyAkm}, \text{KeyBkm}) \\ \text{ErCkm\_DC} &:= \overline{ \text{PIC\_colR} - \text{DCkm} } \\ \alpha &:= 7 \quad \beta := 77 \\ \text{CM} &:= \text{T\_PFW}(\alpha, \text{PIC\_colR}, \text{KeyM}(\beta, \text{KeyA}), \text{KeyM}(\beta, \text{KeyB})) \\ \text{DCM} &:= \text{T\_PFWO}(\alpha, \text{CM}, \text{KeyM}(\beta, \text{KeyA}), \text{KeyM}(\beta, \text{KeyB})) \\ \text{ErCM\_DC} &:= \overline{ \text{PIC\_colR} - \text{DCM} } \end{aligned}$	
$\text{T\_PFW}(qw, F, \text{Akey}, \text{Bkey}) :=$	<pre> p ← 0 S ← F while p &lt; qw   S ←     for i ∈ 0..255       for j ∈ 0..255         W<sub>i,j</sub> ← S<sup>Akey<sub>Akey<sub>i,j</sub></sub>, Bkey<sub>i,j</sub></sup> · Bkey<sup>Akey<sub>i,j</sub>, Bkey<sub>i,j</sub></sup>       W     W   p ← p + 1 S </pre>
$\text{T\_PFWO}(qw, F, \text{Akey}, \text{Bkey}) :=$	<pre> p ← 0 S ← F while p &lt; qw   S ←     for i ∈ 0..255       for j ∈ 0..255         W<sup>Akey<sub>Akey<sub>i,j</sub></sub>, Bkey<sub>i,j</sub></sup> · Bkey<sup>Akey<sub>i,j</sub>, Bkey<sub>i,j</sub></sup> ← S<sub>i,j</sub>       W     W   p ← p + 1 S </pre>

Рис. 7. Функціональні параметричні моделі КП на базі створених МП



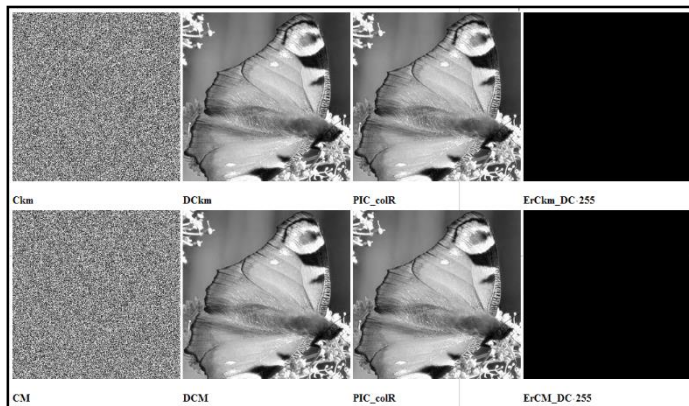


Рис. 8. Пряме та зворотне КПЗ на основі генерованих МП

**Висновки.** Запропоновано три вдосконалені методи генерації низької МП значної розмірності та їх модифікації. Результати експериментів, моделювання та оцінки стійкості підтвердили якість МП, адекватність функціонування моделей та запропонованих методів генерування МП, їх переваги. Моделі прості, зручні, адаптуються для різноформатних та кольорових зображень, реалізуються матричними процесорами, мають високі ефективність, стійкість, швидкодію.

Список літературних джерел:

1. Красиленко В.Г. Моделювання матричних алгоритмів криптографічного захисту / В.Г. Красиленко, Ю.А. Флавицька // Вісн. НУ "Львів. політехніка". - 2009. - № 658. - С. 59-63.
2. Красиленко В. Г. Матричні афінно-перестановочні алгоритми для шифрування та дешифрування зображень / В. Г. Красиленко, С. К. Грабовляк // Системи обробки інформації. - 2012. - Вип. 3(2). - С. 53-61. - Режим доступу: [http://nbuv.gov.ua/UJRN/soi\\_2012\\_2\\_3\\_15](http://nbuv.gov.ua/UJRN/soi_2012_2_3_15)
3. Красиленко В.Г. Криптографічні перетворення зображень на основі матричних моделей перестановок з матрично-бітовозрізовою декомпозицією та їх моделювання / В. Г. Красиленко, В. М. Дубчак // Вісник Хмельн. НУ. Технічні науки. - 2014. - № 1. - С. 74-79.
4. Красиленко В.Г. Моделювання криптографічних перетворень кольорових зображень на основі матричних моделей перестановок зі спектральною та бітово-зрізовою декомпозиціями / В.Г. Красиленко, Д.В. Нікітович // Комп'ютерно-інтегровані технології: освіта, наука, виробництво : наук. журн. – Луцьк: Видавництво Луц. нац. техн. ун-ту, - 2016. - № 23. - С. 31-36. – Режим доступу: <http://ki.lutsk-ntu.com.ua/node/132/section/9> .

5. Красиленко В.Г. Моделювання та дослідження криптографічних перетворень зображень на основі їхньої матрично-бітовозрізової декомпозиції та матричних моделей перестановок з верифікацією цілісності / В.Г. Красиленко, Д.В. Нікітович // Електроніка та інформаційні технології. – Львів: ЛНУ імені Івана Франка, 2016. – Вип. 6. – С 111-127. – Режим доступу: [http://elit.lnu.edu.ua/pdf/6\\_12.pdf](http://elit.lnu.edu.ua/pdf/6_12.pdf)

6. Красиленко В.Г. Моделі блокових матричних афінно-перестановочних шифрів (МАПШ) для криптографічних перетворень та їх дослідження / В.Г. Красиленко, Д.В. Нікітович // 72 НТК: матеріали конференції (13-15 грудня 2017 р.). – Одеса: ОНАЗ ім. О.С. Попова, 2017. – Частина 1. – С.117-122.

7. Красиленко, В.Г. Моделювання матричних афінних алгоритмів для шифрування кольорових зображень / В. Г. Красиленко, К. В. Огородник, Ю.А.Флавицька // Комп'ютерні технології: наука і освіта: тези доповідей V Всеукр. НПК– К., 2010. – С.120-124.

8. Красиленко В.Г. Багатофункціональні параметричні матрично-алгебраїчні моделі (МAM) криптографічних перетворень (КП) з операціями за модулем та їх моделювання. / В.Г. Красиленко, Д.В. Нікітович. // 72 НПК: матеріали конференції (13-15 грудня 2017 року). – Одеса: ОНАЗ ім. О.С. Попова, 2017. – Частина 1. – С.123-128.

9. Красиленко В.Г. Моделювання сторінкових криптографічних перетворень масивів кольорових зображень на основі матричних моделей та перестановок / В.Г. Красиленко, Д.В. Нікітович // «Інформаційно-комп'ютерні технології – 2018»: Збірник тез доповідей IX Міжнародної НТК, 20-21 квітня 2018 року. – Житомир: Вид. О. О. Євенок, 2018. – С. 73-77.

10. Красиленко В.Г. Дослідження покращеного багатокрокового 2D RSA шифру та його гістограмно-ентропійних характеристик / В.Г. Красиленко, Д.В. Нікітович // «Інформаційна безпека та комп'ютерні технології»: Збірник тез доповідей III Міжнародної НПК, 19-20 квітня 2018 року. – Кропивницький: ЦНТУ, 2018. – С. 78-82. Режим доступу: <http://it-kntu.kr.ua/wp-content/uploads/2015/01/Zbirnyk-tez-InfoSecCompTech-2018.pdf>

11. Красиленко В.Г. Матричні афінні шифри для створення цифрових сліпих підписів на текстографічні документи / В.Г. Красиленко, С.К. Грабовляк // Системи обробки інформації. – Х.: ХУПС, 2011. – Вип. 7(97). – С. 60 – 63.

12. Красиленко В.Г. Демонстрація процесів створення сліпих електронних цифрових підписів на текстографічну документацію на основі

моделей матричного типу / В.Г. Красиленко, Р.О. Яцковська, Ю.М. Трифонова, // Системи обробки інформації. – 2013. – Вип. 3(110). – Т. 2. – С. 18 – 22.

13. Красиленко В.Г. Вдосконалення та моделювання електронних цифрових підписів матричного типу для текстografічних документів / В.Г. Красиленко, Д.В. Нікітович // Матеріали VI міжнародної науково-практичної конференції «Інформаційні управляючі системи та технології» (ІУСТ-Одеса-2017), Одеський національний морський університет, 20-22 вересня 2017р. – Одеса: «ВидавІнформ НУ «ОМА», 2017. - С. 312 -318.

14. Красиленко В.Г. Моделювання покращених сліпих електронних цифрових підписів 2D типу / В.Г. Красиленко, Д.В. Нікітович // «Інформаційно-комп'ютерні технології – 2018»: Збірник тез доповідей IX Міжнародної науково-технічної конференції, 20-21 квітня 2018 року. – Житомир: Вид. О. О. Євенок, 2018. – С. 78-82.

15. Красиленко В.Г. Моделювання покращених багатокрокових 2D RSA алгоритмів для криптографічних перетворень та сліпого електронного цифрового підпису / В.Г. Красиленко, Д.В. Нікітович, Р.О. Яцковська, В.І. Яцковський // Системи обробки інформації: збірник наукових праць. – Х.: Харківський університет Повітряних Сил імені Івана Кожедуба, 2019. – Вип. 1 (156). – С. 92-100. – [Електронний ресурс]. – Режим доступу: <https://doi.org/10.30748/soi.2019.156.12>

16. Красиленко В.Г. Моделювання протоколів узгодження секретного матричного ключа для криптографічних перетворень та систем матричного типу / В.Г. Красиленко, Д.В. Нікітович // Системи обробки інформації. – 2017. – Вип. 3 (149). – С 151-157.

17. Красиленко В.Г. "Моделювання багатокрокових та багатоступеневих протоколів узгодження секретних матричних ключів" / В.Г. Красиленко, Д.В. Нікітович // Комп'ютерно-інтегровані технології: освіта, наука, виробництво: науковий журнал. – Луцьк: ЛНТУ, 2017. – Вип. 26. – С 111-120. - Режим доступу: <http://ki.lutsk-ntu.com.ua/node/134/section/27> .

18. Красиленко В.Г. Моделювання процесів генерування матричних ключів / В.Г. Красиленко, Д.В. Нікітович // «Інформаційні технології в освіті, науці і техніці» (ІТОНТ-2018): Збірник тез доповідей IV Міжнародної науково-практичної конференції, 17-18 травня 2018 року.–Черкаси: ЧДТУ, 2018. – С. 32-35. Режим доступу: <https://chdtu.edu.ua/itont-2018/materiali-konferentsiji>